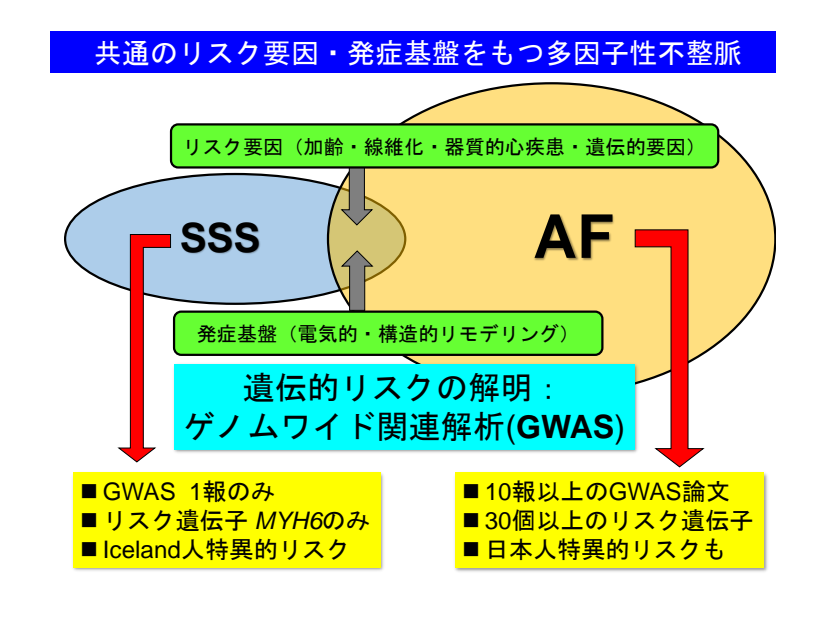
洞不全症候群のプレシジョン医療実現化 に向けたAll-Japanプロジェクト All Japan PREcision Medicine Project for SSS J-PRES3 - Kickoff Meeting 研究代表者 長崎大学 医歯薬学総合研究科 分子生理学 蒔田 直昌

プログラム 1. ごあいさつ・J-PRES3の概要 長崎大学 医歯薬学総合研究科 蒔田 直昌 2. ミニレクチャー「不整脈のゲノム解析 -overview-」 東京医科歯科大学 疾患多様性遺伝学分野 田中 敏博 3. J-PRES3の登録法のご説明 長崎大学 医歯薬学総合研究科 蒔田 直昌 4. J-PRES3登録参加のお願い 産業医科大学 不整脈先端治療学 安部 治彦

洞不全症候群のプレシジョン医療実現化に向けた All-Japanプロジェクト (**J-PRES3**)の概要 PMIの半数以上 AF/AFL合併 ⇒ 抗凝固療法・除細動 SSS AF ■ 加齢・器質的心疾患に併発 ■ 加齢・基礎心疾患・生活習慣病に併発 ■コモンな不整脈 ■コモンな不整脈 有病率 · ~0 03% 有病率:~0.56% 65歳以上の1人/600人 (加齢とともに急速に増加) 新規PMI年間4万人の4割 新規発症 0.2-0.4%/年 ABL後の高度徐脈 ⇒ PMI



J-PRES3の目的

- 日本人SSS 3,000人の症例登録と ゲノム集積
- 2. GWASでSSSの遺伝的リスクを解明
- 3. SSS/AFの至適予防法・治療法の開発



QT延長症候群の原因遺伝子群

Locus	Chromosome	Gene Symbol	First mapped by
LQT1	11p15.5	KCNQ1	Keating et al, 1991
LQT2	7q35-36	KCNH2	Jiang <i>et al</i> , 1994
LQT3	3p21-24	SCN5A	Jiang <i>et al</i> , 1994
LQT4	4q25-27	ANK2	Schott et al, 1995
LQT5	21q22.1	KCNE1	Splawski et al, 1997
LQT6	21q22.1	KCNE2	Abbott et al, 1999
LQT7	17q23	KCNJ2	Plaster et al, 2001
LQT8	12p13.3	CACNA1C	Splawski et al, 2004
LQT9	3p25	CAV3	Vatta et al, 2006
LQT10	11q23.3	SCN4B	Medeiros-Domingo et al, 2007
LQT11	7q21-q22	AKAP9	Chen et al, 2007
LQT12	3q41	SNTA1	Ueda <i>et al</i> , 2008, Wu <i>et al</i> , 2008
LQT13	11q24.3	KCNJ5	Yang <i>et al</i> , 2010
LQT14	14q32	CALM1	Crotti et al, 2013
LQT15	2p21	CALM2	Crotti et al, 2013
-			

Genotype -Phenotype relationship リスク層別化

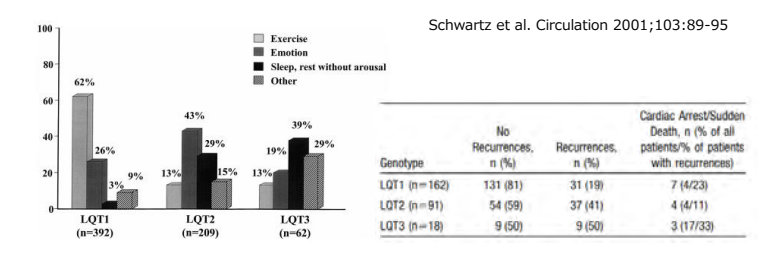
変異遺伝子によるβ遮断薬への反応の違い

Mutated gene	Patient ^a	Sex	Age (years)	QTc (ms)	Drug	Symptom after therapy	Follow-up period (years)
KCNQ1	3817	F.	43	660	Propranolol	_	16
KCNQI	100-1	M	8	620	Atenolol		1
KCNQI	100-2	F	38	650	Atenolol	_	1
KCNOI	5604	F	21	590	Atenolol		5
KCNQ1	3612	F	26	530	Propranolol	_	8
KCNQI	2905	M	14	510	Propranolol	-	7
KCNOI	6114	F	22	570	Propranolol		14
KCNQI	6115	F	20	550	Propranolol	_	14
KCNOI	6117	F	17	550	Propranolol	_	6
KCNOI	1004	F	25	505	Propranolol		7.
KCNQI	1911	M	15	480	Bisoprolol	_	3
KCNQI	30	M	18	490	Propranolol	_	4
KCN01	2515	F	21	530	Propranolol	Syncope	
KCNH2	6801	F	65	520	Propranolol		8
KCNH2	2009	M	25	500	Propranolol	Syncope	_
KCNH2	2211	F	24	550	Propranolol	Syncope	
KCNH2	8001	M	21	700	Propranolol	Syncope	_
KCNH2	101	F	19	500	Carteolol	Syncope	_

OTc. corrected OT interval

Itoh et al. Journal of Human Genetics 46:38-40, 2001

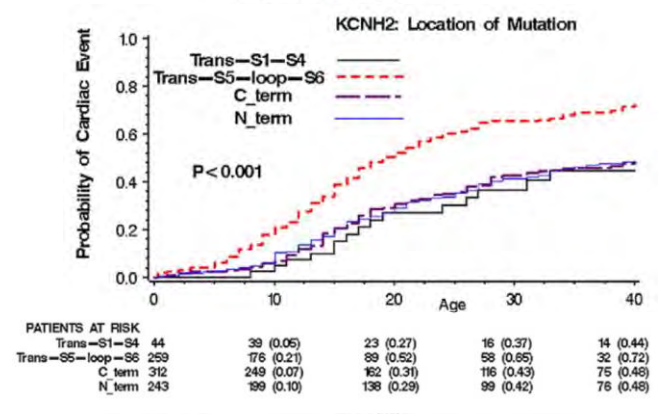
Genotype-Phenotype Correlation in the Long-QT Syndrome Gene-Specific Triggers for Life-Threatening Arrhythmias



発作のトリガーが変異遺伝子により異なる βブロッカーの効果が変異遺伝子により異なる

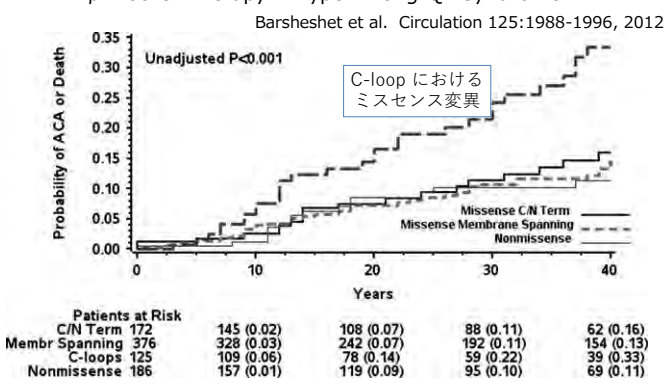
Genotype-Phenotype Aspects of Type 2 Long QT Syndrome

Shimizu et al. Journal of the American College of Cardiology 54:2052-2062, 2009



loop 付近の変異を持つ場合にイベントの頻度が高くなる

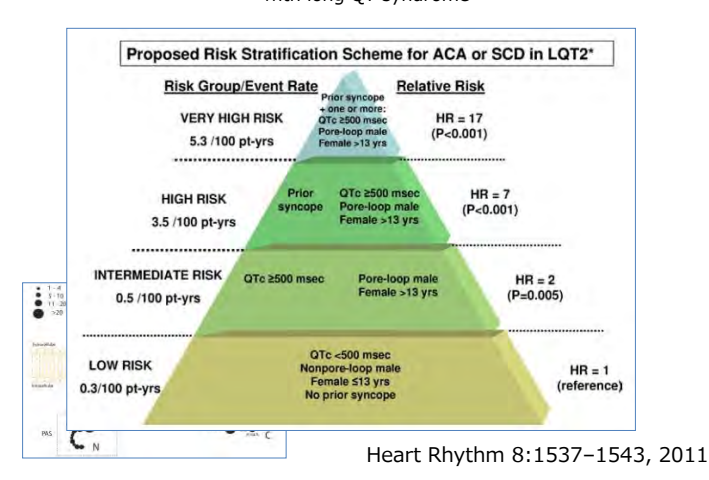
Mutations in Cytoplasmic Loops of the KCNQ1 Channel and the Risk of Life-Threatening Events Implications for Mutation-Specific Response to β-Blocker Therapy in Type 1 Long-QT Syndrome



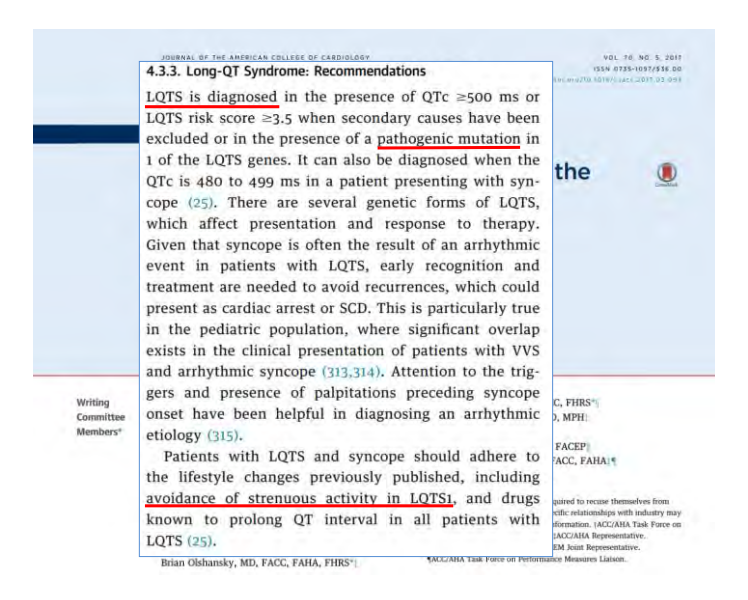
loop 付近の変異を持つ場合にイベントの頻度が高くなる

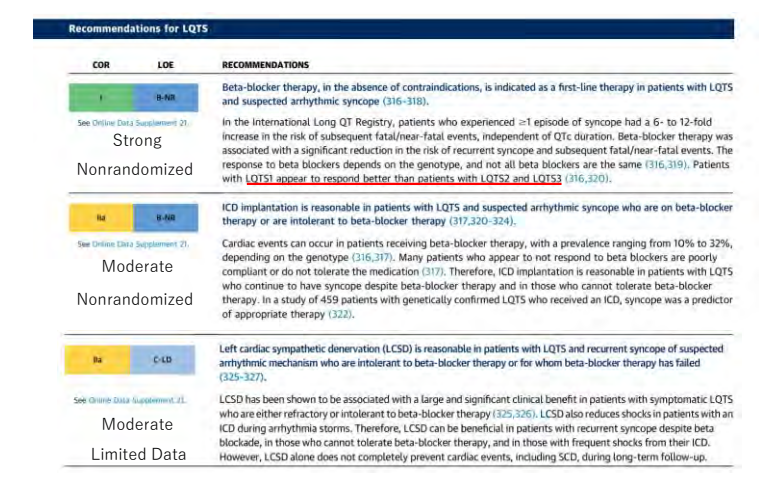
^{*}Patient numbers refer to those in the study by Tanaka et al. (1997), Itoh et al. (1998a), and Itoh et al. (1998b)

Mutation and gender-specific risk in type 2 long QT syndrome: Implications for risk stratification for life-threatening cardiac events in patients with long QT syndrome











合同研究班参加学会

日本循環器学会 日本心臓病学会 日本心電学会 日本不整脈学会

表 9 先天性 QT 延長症候群における B 遮断薬の適応

とくにLTQ1では0~14歳の男子、LTQ2では15~40歳の女性のリスクが高く、β遮斯薬の有効性が示されているご。

表 10 先天性 QT 延長症候群におけるメキシレチンの適応

クラス III ・LOT3 と診断のついた失神歴のある OT 延長症候 群・ ・ 方 逐所薬単体で効果のない OT 延長症候群

予後

QT 延長症候群のゲノム診療 高度先進医療→平成20年保険収載

D006-4 遺伝学的検査 3,880点

(1)遺伝学的検査は以下の遺伝子疾患が疑われる場合に行うものとし、原則として患者1人につき1回算定できる。

ア デュシェンヌ型筋ジストロフィー、ベッカー型筋ジストロィー、 福山型先天性筋ジストロフィー、栄養障害型表皮水疱症、

家族性アミロイドーシス、先天性QT延長症候群及び脊髄性筋萎縮症



遺伝子名は列挙されていない

ほとんどの mutation は LQT1, LQT2, LQT3 (経験則)

40~50% の患者さんの変異は同定できていない状況

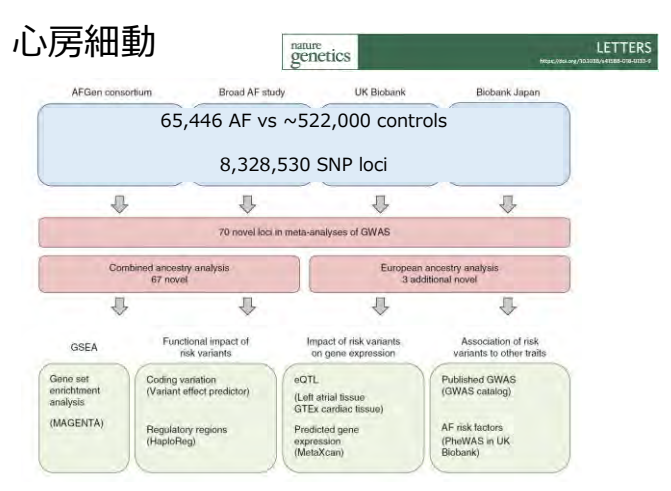


Fig. 11 Study and analysis flowchart. Top, overview of the participating studies, number of AF cases and referents, and the percentage of samples imputed with each reference panel. Middle, summary of the primary analyses and the newly discovered loci for AF. Bottom, overview of the secondary analyses to evaluate AF risk variants and loci.

心房細動関連遺伝子群

Reid	Chr	hg19	Risk/ret allele	RAF (%)	RR	95% CI	P _{META}	Nearest gene(s)*	Func	imp Qual	Fiett	Per
rs187585530	1	10167425	A/G	0.5	1.55	136-177	1.18×10 ¹⁰	U8E48	Missense	0.81	0.0	1.000
rs880315	T.	10796866	C/T	37.4	104	1.03-1.06	5.04×10-+	CASZI	Intronic	0.97	40.7	0.150
rs146518726	1	51535039	A/G	2.6	118	112-124	2.05×10 °	Clorf185	Intronic	0.96	0.0	1.000
154484922	1	116310818	G/C	68.3	1.07	1.05-1.08	4.57×10 ⁻¹⁸	CASQ2	Intronic	0.98	0.0	0.689
rs79187193	1	147255831	G/A	94.8	1.12	1.08-1.16	8.07×10-9	GIAS	Upstream	0.97	39.8	0.190
rs4951261	1	205717823	C/A	38.2	1.05	103-106	117×10-1	NUCKSI	Intronic	0.99	0.0	0.788
rs6546620	2	26159940	C/T	75.3	1.07	1.05-1.09	296×10 ⁻¹⁴	KIF3C	Intronic	0.95	33.0	0.201
rs6742276	2	61768745	A/G	612	1.05	103-106	242×10-11	XPO1	Upstream	0.99	0.0	0.731
rs72926475	2	86594487	G/A	87.0	1.07	1.05-110	3.49×10-11	REEPLKDM3A	Intergenic	0.97	38.7	0.180
rs56181519	2	175555714	C/T	74.0	1.08	1.06-110	1.52×10-4	WIPFI, CHRNAI	Intergenic	0.94	0.0	0.519
15295114	2	201195602	C/T	59.7	1.07	1.05-1.09	176×10-8	SPATS2L	Intronic	1.00	21.9	0.275
rs2306272	3	66434643	C/T	31.8	1.05	1.04-1.07	4.54×10 ⁻⁸	LRIGI	Missense	0.99	30.6	0.218
rs17490701	3	111587879	G/A	85.7	1.07	1.05-110	5.43×10 ⁻¹	PHIDB2	Intronic	0.97	46.8	0.111
rs4855075	3	179170494	T/C	14.3	106	1.04-1.08	4.00×10+	GN84	Upstream	0.95	10.1	0.348
rs3822299	4	10118745	T/G	67.9	105	103-106	1.93×10-9	WDRI	Upstream	0.96	0.0	0.922
rs3960788	4	103915618	C/T	42.4	1.05	1.04-1.07	2.09×10-9	SLC981	Intronic	0.98	35.7	0.183
rs55754224	4	114428714	T/C	25.0	1.05	1.03-1.07	9.25×10-*	CAMK2D	Intronic	0.99	0.0	0.511
rs10213171	4	148937537	G/C	8.2	131	1.08-1.14	6.09×10 ⁻¹⁴	ARHGAP10	Intronic	0.96	0.0	0.584
rs174048	5	142650404	C/T	15.7	1.07	1.05-1.09	1.05×10 ⁻⁸	ARHGAP26,NR3C1	Intergénic	0.99	0.0	0.852
rs6882776	5	172664163	G/A	67.2	106	105-108	318×10-14	NKX2-5	Upstream	0.95	0.0	0.858
rs73366713	6	16415751	G/A	86.2	131	109-114	5.80×10-31	ATXINI	Intronic	0.94	0.0	0.879
1534969716	6	18210109	A/G	31.1	109	1.07-1.11	2.91×10 ⁻⁷³	KDM18	Intronic	0.80	19.5	0.290
rs3176326	6	36647289	G/A	80.4	106	1.04-1.08	7.95×10-*	CDKNtA	Intronic	0.95	0.0	0.450
rs117984853	6	149399100	T/G	8.9	112	1.09-115	8.38×10-11	UST	Downstream	0.83	56.5	0.100
n55734480	7.	14372009	A/G	26.6	105	103-107	7.34×10-10	DGKB	Intronic	0.94	0.0	0.441
rs6462078	7	28413187	A/C	74.7	1.06	104-108	1.35×10-11	CREBS	Intronic	0.98	22.2	0.278
rs74910854	7	74110705	G/A	6.9	110	1.07-113	3.36×10 ⁻⁹	GTF21	Intronic	0.74	24.4	0.265
162483627	2	106856002	A/G	23.5	1.05	103-107	517×10-1	COGN	Intronic	0.98	15.1	0.318
rs7789146	7	150661409	G/A	80.3	106	1.04-1.08	6.51×10 ⁻¹⁰	KCNH2	Intronic	0.96	66.0	0.019
rs7846485	8	21803735	C/A	86.8	1.09	1.07-112	3.71×10 ⁻⁶	XP07	Intronic	0.99	0.0	0.676
rs62521286	8	124551975	G/A	6.7	113	130-136	1.24×10-11	FBXI032	Intronic	0.96	0.0	0.678
rs35006907	8	125859817	A/C	32.9	1.05	103-106	2.76×10·*	MTSS1LINCO0964	Regulatory reg.	0.97	0.0	0.542

遺伝子発現解析(左室、右心耳)

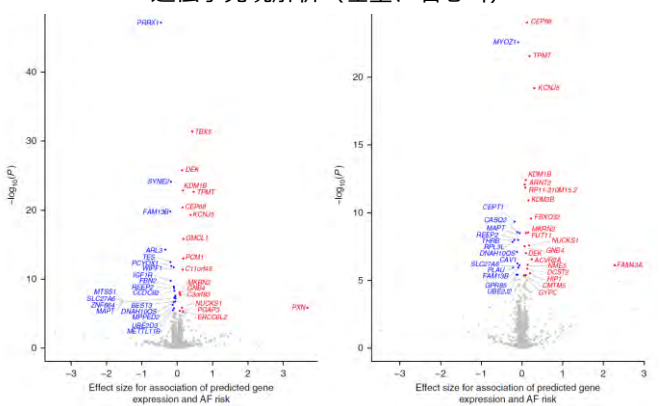


Fig. 3 (Volcano plot of transcriptome-wide analysis from human heart tissues. a. B. Plots showing the results from the transcriptome-wide analysis based on IV (a. n=190) and RA appendage (b. n=159) tissue from GTEx, calculated with the MetaXcan method based on the combined-ancestry summary level results (n=583/90). Each plotted point epresents the association results for an individual gene. The x axis shows the effect size for associations of predicted gene expression and AF risk for each tested gene. They axis shows the -log₀(P) for the associations per gene. Genes with a positive effect (feet) showed an association of increased predicted gene expression with AF risk. The highlighted genes are significant after Bonderroni correction for all tested genes and tissues with a Pvalue < 5.36 x (0.7°). The result for one gene for the AR appendage (b) is not shown (SNAC, effect = 6.94, P=0.2).

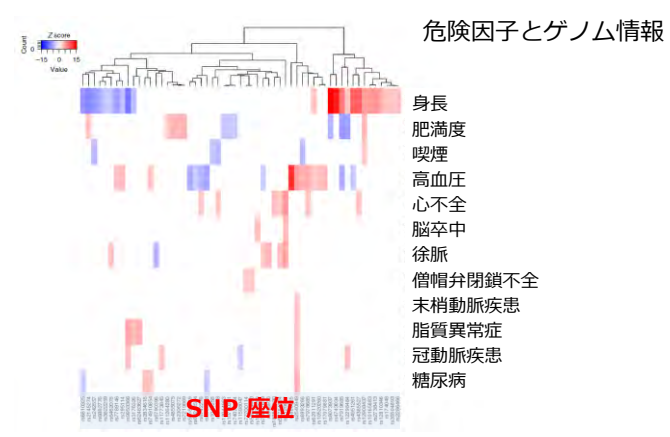


Fig. 4 (Cross-trait associations of AF risk variants with AF risk factors in the UK Biobank. The heatmap shows associations of novel and known sentinel variants at AF risk loci from the combined-ancestry meta-analysis. Shown are variants and plenotypes with significant associations after correcting for 12 phenotypes via borderroni correction with P<417×10⁻¹. Pvalues (two-sided) were derived from linear and logistic regression models. Listed next to each trait is the number of cases for binary traits or the total sample size for quantitative traits. Hierarchical clustering was performed on a variant level using the complete linear person that the complete linear trait or disease, or inclination and trait is the complete linear trait or disease, or incrinated toward the AF risk allele. Red indicates an increase in the trait or disease in the trait or disease risk. BMI, body mass index; CAD, coronary artery disease; PVD, peripheral vascular disease.

不整脈の遺伝学

	頻度	遺伝学的特徴
QT延長症候群	希少疾患	<mark>家系内発症</mark> <mark>変異</mark> (決定因子: <mark>原因</mark> 遺伝子) 一部 多型(危険因子:関連遺伝子)
洞不全症候群		
心房細動	コモン	多型(危険因子: <mark>関連</mark> 遺伝子) 一部 変異(決定因子:原因遺伝子)



日本人におけるSSSリスク遺伝子の解明(J-PRES3)

1. 登録対象患者

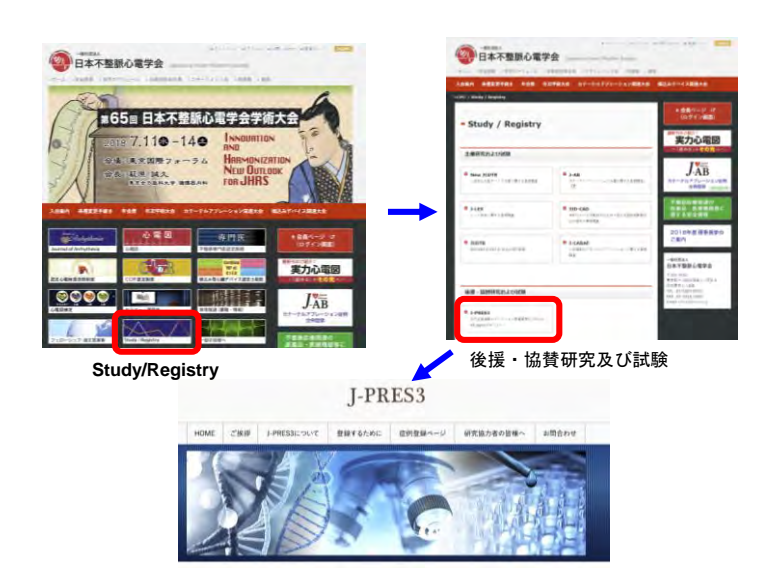
- 日本人SSS (I-Ⅲ型)。登録目標数: 3,000例。
- 年齢・症状・家族歴・AF/AVBの合併・PMIの有無は問わない。
- 二次性SSS(薬剤性・他の基礎心疾患や遺伝性不整脈の合併) は除外。

2. 健常人Control

● 滋賀県住民コホート (SESSA・高島スタディ) 3,000例 (採血済) 滋賀医大三浦教授・敦賀看護大喜多教授・国循研究所大野部長

3. GWAS解析

- 新規GWASアレイ: Asian Screening Array (ASA; Illumina)
 東アジア人低頻度SNPを網羅するアレイ
- タイピング・解析:東京医科歯科大田中教授







共同研究者 (発足時、随時追加登録の予定)

1. 臨床部門

国立循環器病研究センター 分子生物学部 大野 聖子 産業医科大学 不整脈先端治療学 安部 治彦 日本大学 循環器内科 奥村 恭男 長崎大学 循環器内科 前村 浩二 国立循環器病研究センター 先端不整脈探索医学研究部 相庭 武司 筑波大学 循環器不整脈学寄附講座 野上 昭彦 滋賀医科大学 呼吸循環器内科 堀江 稔 日本医科大学 循環器内科 清水 渉 北海道大学 循環病態内科学 安斉 俊久 岡山大学 循環器内科 森田 宏 金沢大学 循環器内科 林 研至 群馬大学 循環器内科 中島 忠 慶應義塾大学 循環器科 相澤 義泰

2. 解析部門・健常人サンプル

 東京医科歯科大学 疾患多様性遺伝学分野
 田中 敏博

 滋賀医科大学 公衆衛生学
 三浦 克之

 教質市立看護大学
 喜多 義邦

 長崎大学 原爆後障害研究所
 吉浦 孝一朗

 長崎大学 分子生理学
 石川 泰輔

お問い合わせ

1.J-PRES3 web site (日本不整脈心電学会HP)

http://new.jhrs.or.jp/contents_web/j-pres3/02.html

2. 研究代表者

長崎大学医学部分子生理学 教授 蒔田直昌

Email: makitanaomasa@gmail.com

電話: 095-819-7031

Web: https://cvmp.med.nagasaki-u.ac.jp/



) 登録者名(
生年月日(西暦年	三月	目;	才)	性別	(□男、[□女)
安静時心電図 ペースメーカ植込 ペースメーカ植込	み前の心電図(□存 み後の心電図(□存				月月	
診断 □ 洞不全症候群 (□1 型	[、□2型、□3型、[□不明)(襘	复数チェック可	·)		
合併症□ 房室ブロック(□1度□ 心房細動(□一過性□ その他の不整脈(□ 高血圧、□糖尿病、□ その他(、□持続性、□慢怕	生)、口心原		房静止))
症状 (□有、□無) 初発症状 □ その他 失神時の具体的な状況) i	刀発年齢(才)、	失神初到		
デバイス治療 (□有、□無) モード(初期設定□DDI その他のデバイス(□	D, □DDI, □VVI, ICD, □CRT, □CR1	□その他 `-D、その他	1)
カテーテルアブレーション(□: 内 容 ()
家族歴(家族性が濃厚であれば別の □ 洞不全症候群(PM 和 □ 心房細動、□ 突然を	直込み:□有、□無	(□房室	ヹブロック (PM	植込み:	□有、□	無)
検査所見 (複数ある場合は PM 植記① 心エコー (□施行、□未施行) 所見 () 、(□ 診断時、□ :	M植込み時、		施行年	龄(才)
② Holter 心電図(□施行、□未施 Total beats (匝行)、(□ 診断時、□), 脈拍 (bpm))、PAC (PM植込み時 (Max	, Min			
③ 電気生理学的検査 (EPS) (□M 洞自動能(□SNRT 洞房伝導時間(□SAC その他の所見(^飯 行、□未施行)、 秒、□ T 、□ CSACT : _	CSNRT		s法、□	∃Narula	
④ BNP 採血 (□BNP、□NT-pı	roBNP、□未施行)	(pg/ml)	施行年齢	(才)
現在の内服薬(□有、□無)□	β 刺激薬、□シロ	スタゾール	、□その他	()

コメント: